

軸力や曲げを受けるRC矩形断面の部分安全係数評価に與する研究

○東北大学 学 来原 徹郎
東北大学 実 戸谷 有一
東北大学 正 鈴木 基行

1. まえがき

従来の構造設計において 安全性の検証は材料の許容応力度を設定することにより行なわれてきたが、この設計法では 設計変数の不確実さを合理的な形で取り扱うことは困難である。しかし これに代わる限界状態設計法では、の不確実さを統計確率論用いて客観的な尺度で設計に導入することができ、また種々の限界状態法を並んで用いることで破壊の確率とつ共通のパラメーターを用いて議論することができる という特徴を持っている。確率論を用いた安全性の検証法としては、水準Ⅲ・水準Ⅱ 水準Ⅰが提案されている。本研究では、RC矩形断面に曲げあるいは軸力が作用した場合の それぞれの耐力を用いた限界状態を対象とし、各構造変数が限界状態に及ぼす影響を調べ、さらに破壊の確率を安全性の尺度として部分安全係数や各構造変数の設計値を評価し水準Ⅰでの安全性の検証を行なうこととする。

2. 限界状態式及び構造変数の設定

$$\text{軸力限界状態式 } g_a = (C_a A_b + C_c b \cdot h) - N \quad (1)$$

$$\text{曲げ限界状態式 } g_c = (C_a A_s d - \frac{(C_a A_s)^2}{1.7 C_c b}) - M \quad (2)$$

耐力に與する構造変数の分布形は 本概要集構造変数のバラツキの実態調査の結果より正規分布とし その平均値及び変動係数は表1-2のように与えた。

荷重の分布形については正規分布⑩ 対数正規分布⑪ 及び極値I型分布⑫ の3種を仮定した。

3. 軸力あるいは曲げをうけるRC矩形断面の破壊確率序と特性安全率 γ_f との関係

耐力の条件を次の通りとし、各荷重分布との間で破壊確率を求めるため たとみ込み検討を行なった。

条件⑩：耐力の構造変数を正の範囲全体で分布するとし 確率変数の四則演算を繰り返すことにより耐力の分布を求めた場合

条件⑪：耐力の平均値及び標準偏差を数学的近似により求め 耐力の分布全体を正規分布として与えた場合 図1-1に γ_f - P_f 関係を示す。条件⑩により求められた耐力分布は、正規確率紙上に確認した結果ほぼ正規分布とみなしてよく、その平均値及び標準偏差とも条件⑩で求めたものとほとんど等しかった。これは 本解析の範囲内においては軸力あるいは曲げの耐力分布に於て 正規分布を仮定するとの妥当性を示すものである。

また 同一の特性安全率 γ_f に対する破壊確率序は 荷重分布形に依存していることがわかる。このことは、荷重分布形の決定が 破壊確率を基にした限界状態設計法確立の上で非常に重要であることを意味する。

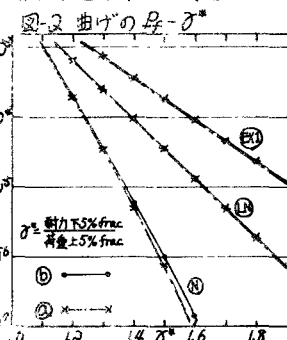
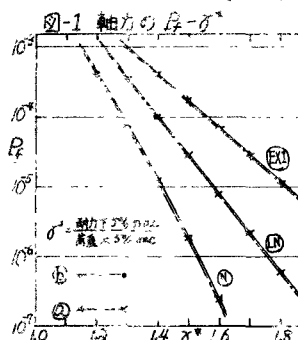
⑩とし各の確率変数が正規分布であって、それらの確率変数により得られる分布形はもはや正規分布ではなく、この曲線を構造変数の平均値にあて、Taylor展開し一次の項までとることにより線形化される。この近似的な曲線について平均及び標準偏差を求めた。

表1-1 軸力の構造変数諸元

	平均値	特性値	変動係数
コンクリート 圧縮強度 点強度	0.6(%)	250	240
鉄筋強度 点強度	0.5(%)	3,500	3,000
鉄筋面積A _s (cm ²)	110.25	110.25	2%
部材幅b(cm)	105	105	0.5%
部材高さh(cm)	105	105	0.5%
荷重N(kg)	特性安全率を指定	20%	
鉄筋比	100A _s /bh = 1%		

表1-2 曲げの構造変数諸元

	平均値	特性値	変動係数
コンクリート 圧縮強度 点強度	0.6(%)	250	240
鉄筋強度 点強度	0.5(%)	3,500	3,000
鉄筋面積A _s (cm ²)	71.5	71.5	2%
有効高さd(cm)	102	102	2%
部材幅b(cm)	85	85	0.5%
荷重M(kg/cm)	特性安全率を指定	20%	
鉄筋比	71.5/85の25%		



4. 部分安全係数評価

4-1 理論の展開

理論の展開及び計算フローについては、第35回年講概要集V-103
純曲げを受けるRC矩形単筋断面の部分安全係数評価に関する研究
及び本概要集せん断力を受けるRC梁の安全性評価に関する研究参考
4-2 軸力を使う場合(荷重の分布形としては正規分布を仮定)

荷重以外の構造変数の変動係数は表1の値に固定し、荷重の変動係数だけを変化させた時の各構造変数の α_i を求めた。結果を図3に示す。ここで α_i とは各構造変数のバラツキが限界状態のバラツキに及ぼす影響度である。この図より軸力に因する限界状態については、コンクリート圧縮強度 σ_c 及び荷重Nの影響が支配的で他の構造変数 ρ_s, b, h, A_s の影響はほとんどないことがわかる。又荷重の変動係数の増大とともに荷重の α_i は大きくなり、 σ_c の α_i は減少していることがわかる。図3に示した α_i を用いると、各構造変数に対する部分安全係数 γ_i を評価でき、さらに設計フィーマット式 $f\left(\frac{\sigma_{se}}{\sigma_{sc}}, \frac{S_{se}}{S_{sc}}\right) > \gamma_F$ に用いる設計用部分安全係数 $\gamma_{mc}, \gamma_{ms}, \gamma_F$ を算定することができる。図4は各破壊確率における荷重の変動係数と設計用部分安全係数との関係を示したものである。軸力の場合 $\gamma_{mc}, \gamma_{ms}, \gamma_F$ はそれぞれ $\gamma_{mc} = \alpha_s \cdot \alpha_b \cdot \alpha_h, \gamma_{ms} = \alpha_s \cdot \alpha_b, \gamma_F = \alpha_N$ によって算定した。図3の所で述べたようにN及び σ_c の α_i が大きいことが設計用部分安全係数にも反映されている。

4-3 曲げをうける場合(荷重の分布形としては正規分布を仮定)

図5は図3と同じ条件の基で荷重の変動係数と各構造変数の α_i との関係を示したものであるが、曲げの場合には荷重Mの α_i が0.85~0.95と非常に大きく σ_c, A_s, d の α_i は0.1~0.4。 σ_c, b の影響はほとんどなく、たん軸力においては支配的である。たゞ α_i が曲げの場合極めて小さいのは、(2)式第1項が限界状態に大きな影響を与える第2項はほとんど影響を与えないためである。言いかえれば、(2)式はunder reinforcement状態での式で終局限界状態が引張り鉄筋に支配されるためである。

図6は図4と同じく各破壊確率における荷重の変動係数と設計用部分安全係数との関係を示したものである。ここで曲げの場合には $\gamma_{mc}, \gamma_{ms}, \gamma_F$ をそれぞれ $\gamma_{mc} = \alpha_s \cdot \alpha_b \cdot \alpha_d^2, \gamma_{ms} = \alpha_s \cdot \alpha_b \cdot \alpha_d, \gamma_F = \alpha_N$ により算定した。軸力、曲げ両者の場合について α_i が1.0以下となるのは、SD30の平均値を3,500tとし変動係数を4%としたためである。

5.まとめ

設計用部分安全係数 $\gamma_{mc}, \gamma_{ms}, \gamma_F$ を評価する際に耐力に因した構造変数の分布形や変動性は実態調査に基づいたものであるが、荷重に因る分布形や変動性については仮定を行なった。本解析に示したように荷重の分布形や変動性が破壊確率や設計用部分安全係数の値に与える影響は極めて大きいので今後はそれらについて調査を行ない、安全性検証に反映させてゆく予定である。

